

DETEKSI MISALIGNMENT PADA MOTOR INDUKSI MENGGUNAKAN TRANSFORMASI WAVELET DISKRIT DAN FUZZY SUBSPACE CLUSTER

Muhammad Chanif Muslich¹⁾, Pressa Perdana S.S²⁾, Rini Puji astutik³⁾

^{1,2,3)}Jurusan Teknik Elektro, Fakultas Teknik, Universitas Muhammadiyah Gresik
Jl. Sumatra No 101, Gresik 61121, Jawa Timur, Indonesia

E-mail: ¹⁾mchanif6@gmail.com, ²⁾Pressa@umg.ac.id, ³⁾astutik_rpa@umg.ac.id

ABSTRAK

Saat ini motor induksi banyak digunakan dalam industri karena kontruksi yang kuat, efisiensi tinggi, dan perawatan yang murah. Perawatan mesin diperlukan untuk memperpanjang umur motor induksi. Berdasarkan penelitian sebelumnya, kesalahan bearing dapat menyebabkan 42% - 50% dari semua kegagalan motor. Secara umum ini disebabkan oleh kesalahan produksi, kurangnya pelumasan, dan kesalahan pemasangan. *Misalignment* motor adalah salah satu kesalahan dalam pemasangan. Penelitian ini berkaitan dengan simulasi transformasi wavelet diskrit untuk mengidentifikasi misalignment pada motor induksi. Pemodelan operasi motor diperkenalkan dalam makalah ini sebagai operasi normal dan dua variasi *misalignment*. Transformasi *wavelet haar* dan *symlet* pada level pertama hingga level ketiga digunakan untuk mengekstrak sinyal getaran motor menjadi sinyal frekuensi tinggi. Kemudian, sinyal energi dan ekstrak sinyal lain yang didapat dari sinyal frekuensi tinggi dievaluasi untuk menganalisis kondisi motor. Proses evaluasi ini menggunakan logika *fuzzy* berjenis *fuzzy subspace cluster*. Hasil penelitian dengan metode kombinasi pengolahan sinyal berupa DWT dan metode kecerdasan buatan jenis *fuzzy subspace cluster*, maka terjadinya *misalignment* pada motor induksi tiga fasa dapat dideteksi lebih dini. Sehingga perawatan dan penggantian dapat diantisipasi sebelum terjadi *misalignment*. Dari hasil eksperimen, diperoleh untuk uji ketahanan motor dan kopling untuk level 1 metode *fuzzy c-mean* lebih baik yaitu 0,88% dibandingkan metode *fuzzy subspace cluster* sebesar 0,75%.

Kata Kunci : motor induksi, induksi, DWT, fourier, Fuzzy, FSC.

ABSTRACT

Currently induction motors are widely used in industry because of their strong construction, high efficiency, and low maintenance. Machine maintenance is necessary to extend the life of the induction motor. Based on previous research, bearing faults can cause 42% - 50% of all motor failures. Generally this is caused by manufacturing errors, lack of lubrication and installation errors. Motor misalignment is one of the errors in installation. This research is concerned with discrete wavelet transform simulations to identify misalignment in induction motors. Modeling of motor operation is introduced in this paper as normal operation and two variations of misalignment. Haar and symlet wavelet transformations at the first level to the third level are used to extract the motor vibration signal into a high frequency signal. Then the energy signal and other signal extracts obtained from the high frequency signal are evaluated to analyze the condition of the motor. This evaluation process uses fuzzy logic of the fuzzy subspace cluster type. The results of research using a combination method of signal processing in the form of DWT and artificial intelligence methods of the fuzzy subspace cluster type. Then the occurrence of misalignment in three-phase induction motors can be detected early. So that maintenance and replacement can be

anticipated before misalignment occurs. From the experimental result, it was obtained that motor and clutch endurance test for level 1 of the fuzzy subspace cluster method was 0,88% better than the fuzzy c-mean method of 0,75%.

Keywords: misalignment, three phase induction motor, discrete wavelet transform, fourier transform, fuzzy subspace cluster.

1. PENDAHULUAN

Sejak pertama kali ditemukan, motor induksi telah menjadi bagian utama dari industri ini. Itu karena motor induksi memiliki konstruksi yang kuat, murah dalam pembelian dan perawatan, efisiensi tinggi pada kecepatan pengental dan torsi, dan mudah dioperasikan [1- 3]. Motor dioperasikan di lingkungan yang lembab, kotor, panas, dll., yang dapat menyebabkan kerusakan pada bagian-bagian motor. Pemeliharaan preventif diperlukan untuk mencegah kerusakan, memperpanjang umur motor, dan menemukan kerusakan awal pada motor induksi. Kerusakan pada isolasi dan belitan adalah jenis kerusakan yang paling umum. Kesalahan bantalan adalah 42% -50% dari semua kerusakan motor [4-9]. Motor bantalan bernilai antara 3% - 10% dari biaya motor aktual. Namun karena biaya downtime yang terjadi mengakibatkan tidak tercapainya, target produksi sehingga kegagalan bearing menjadi sangat merugikan. Secara umum ini disebabkan oleh kesalahan produksi, kurangnya pelumasannya, dan kesalahan pemasangan. Ketidak sejajaran motor adalah salah satu kesalahan pemasangan[10].

Salah satu metode untuk mendeteksi kesalahan pada motor induksi adalah menggunakan metode MCSA. MCSA memonitor gangguan dengan menganalisis sirkulasi stator. MCSA menggunakan metode FFT dalam menganalisis sinyal arus motor. Selain itu, penggunaan getaran motor juga dapat digunakan untuk mendeteksi kesalahan motor induksi. Ini karena kesalahan motor akan menghasilkan beberapa efek, salah satunya adalah getaran motor induksi[11].

Penelitian ini mengklasifikasikan proses *misalignment* dan Level *misalignment* dalam induksi menggunakan *mother wavelet*, termasuk *Daubechis*, *Coiflet* dan *Symlet discrete wavelet transform* dan *discriminant analysis*. Motor induksi yang dioperasikan dan direkayasa sehingga dalam operasi normal dan dua variasi *misalignment*. Kemudian, transformasi *wavelet* diskrit di tingkat

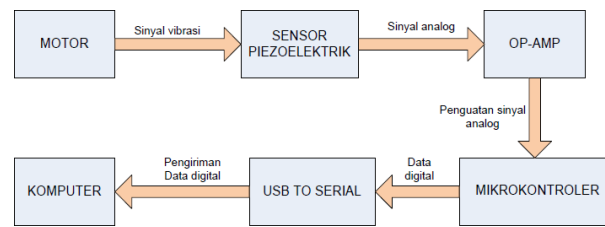
pertama hingga tingkat ketiga digunakan untuk mengekstraksi sinyal getaran motor menjadi sinyal frekuensi tinggi. Kemudian, ekstraksi fitur, termasuk rentang, jumlah, dan energi, yang didapat dari sinyal frekuensi tinggi diambil untuk menganalisis kondisi motor. *Fuzzy subspace cluster* akan menganalisis ekstraksi fitur dan mengklasifikasikannya kedalam tiga kondisi motor. *Wavelet discrete transform* mendapat hasil lebih baik.

2. METODE PENELITIAN

Pada metode penelitian ini dibagi menjadi beberapa sub bab yaitu rancangan software dan hasil pengujian awal.

2.1. Rancangan Hardware

Rancangan hardware deteksi *misalignment* ini terbagi atas beberapa bagian, yaitu bagian utama berupa mikrokontroler, bagian input berupa rangkaian piezoelektrik dengan amplifiernya dan bagian outputnya adalah *USB to Serial* yang berfungsi mengirim data digital ke komputer.



Gambar 1. Blok Diagram Pendekripsi Misalignment

Untuk mengetahui misalignment ini menggunakan alat deteksi getaran dengan meletakan sensor pada motor. Posisi sensor sedekat mungkin dengan motor kopling sebagai sumber getarannya. Setelah output sensor piezoelektrik yang masih berupa sinyal analog ini dikuatkan oleh op-amp. Lalu di ubah menjadi data digital oleh ADC (Analog to Digital Converter).

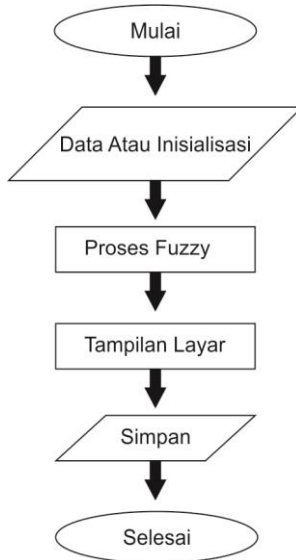
Terdapat pada mikrokontroler ARM STM32F4 *Software compiler program* yang digunakan adalah Coocox. Sinyal yang sudah

dalam bentuk data digital ini dikirim oleh *USB to Serial* ke komputer.

2.2. Rancangan Software

Rancangan software deteksi misalignment ini menggunakan software aplikasi matlab. Untuk mengetahui angka keseimbangan motor kopling.

Gambar 4. Skrip pengujian dengan *fuzzy subspace clustering*.



Gambar 2. Flowchart Sistem

```
% cluster_n = 3;
% expo = 2.0 ;
% max_iter = 100 ;
% min_impro = 1e-6 ;
% min_display = 5 ;
% clusteringOptions = [expo max_iter min_impro true];
% clusteringOptions = [expo max_iter min_impro min_display];
% [center,U,obj] = fcm(Latih_2_Level_3,cluster_n,clusteringOptions);
% maxU = max(U);
% index = cell(cluster_n, 1);
% for i = 1 : cluster_n
% index(i) = find(U(i,:) == maxU) ;
% end
```

```
for j=1 : 24
    sample = Latih_2_Level_3(j,1:3);
    jarak = [] ;
    centerl = sortrows(centerl,4);
    for i = 1:3
        jarak(i) = norm(centerl(i,1:3) - sample) ;
    end
    [value, indeks] = sort(jarak) ;
    indeks_terkecil = indeks(1) ;
    Hasil_FCM_Latih_2_Level_3(j) = indeks_terkecil ;
end
```

Gambar 3. Skrip pengujian dengan *fuzzy clustering misalignment (c-mean)*.

2.3. Hasil Pengujian

Hasil pengujian diperoleh dari perhitungan seperti pada algoritma dengan menggunakan aplikasi matlab.

Tabel 1. Hasil pengujian motor normal 0mm

Pengujian	Motor Normal (0mm)
1.	0,1556mm
2.	0,2105mm
3.	0,1739mm

Tabel 2. Hasil pengujian motor misalignment 1mm

Pengujian	Motor Misalignment 1mm
1.	1,1171mm
2.	1,4434mm
3.	1,0667mm

Tabel 3. Hasil pengujian motor misalignment 1,5mm

Pengujian	Motor Misalignment 1,5mm
1.	1,8039mm
2.	1,9223mm
3.	2,1083mm

Tabel diatas merupakan hasil dari pengujian alat motor misalignment yang disimpan dalam bentuk file.

3. HASIL DAN DISKUSI

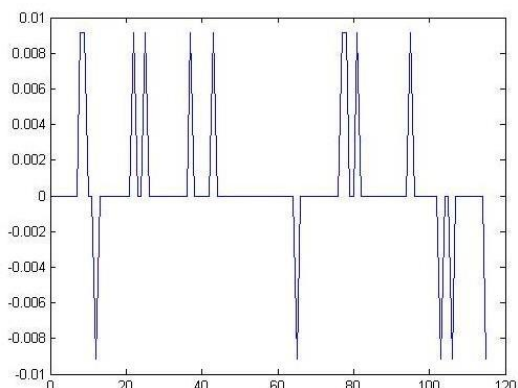
Data pada penelitian ini dikelompokkan menjadi tiga jenis data, yaitu arus motor normal tanpa misalignment, arus motor dengan misalignment 1mm, arus motor dengan misalignment 1,5mm.

3.1. Motor Normal

Motor beroperasi dengan normal tanpa adanya ketidak sejajaran motor dengan kopling sehingga putaran motor menjadi sangat ringan.

Tabel 4. Hasil percobaan motor normal tanpa misalignment.

Waktu Percobaan	Motor Normal (0mm)
1 detik	0,0183mm
2 detik	0,0183mm
3 detik	0,0183mm
4 detik	0,0183mm
5 detik	0,0183mm



Gambar 5. Sinyal motor normal tanpa misalignment.

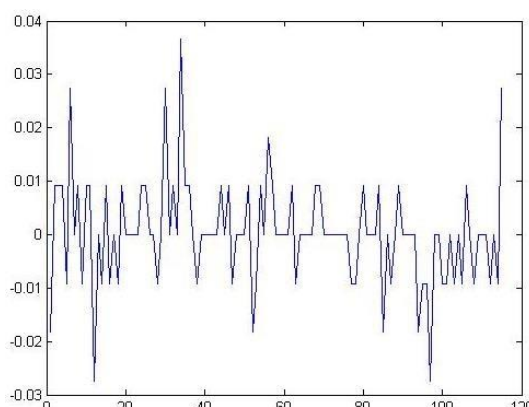
Gambar diatas menunjukkan masing – masing dari sumbu x dan y. Sumbu x menunjukkan waktu dari motor normal. Sumbu y menunjukkan getaran dari motor dan kopling. Diantara sumbu y positif dan sumbu y negatif menunjukkan hasil yang seimbang.

3.2. Motor Misalignment 1mm

Motor beroperasi dengan tidak normal berjarak 1mm yang menimbulkan ketidak sejajaran antara motor dengan kopling. Nilai motor misalignment.

Tabel 5. Hasil percobaan motor misalignment 1mm

Waktu Percobaan	Motor Misalignment (1mm)
1 detik	1,1773mm
2 detik	1,2639mm
3 detik	1,4434mm
4 detik	1,1171mm
5 detik	1,1159mm



Gambar 6. Sinyal motor misalignment 1mm

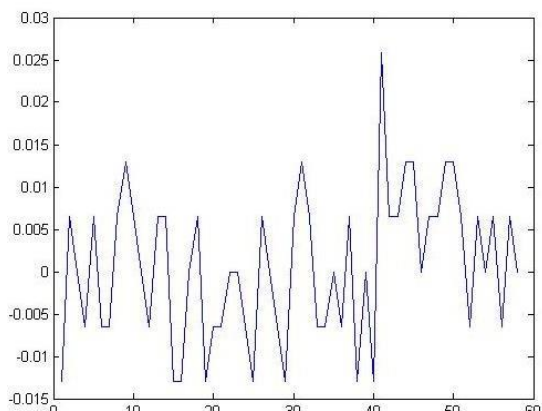
Gambar diatas dapat kita lihat bahwa sumbu y menunjukkan frekuensi pada keseimbangan getaran. Antara sumbu y positif dan sumbu y negatif menunjukkan gesekan getaran motor lebih besar. Sedangkan sumbu x menunjukkan frekuensi pada waktu getaran. Maka getaran dari motor dan kopling menghasilkan misalignment yang semakin besar pada nilai putaran motor. Hal itu karena gesekan beban dari motor dengan kopling menjadi tidak lancar.

3.3. Motor Misalignment 3mm

Motor beroperasi dengan tidak normal berjarak 1,5mm yang menimbulkan ketidak sejajaran antara motor dengan kopling.

Tabel 6. Hasil percobaan motor *misalignment* 1,5mm

Waktu Percobaan	Motor Misalignment (1,5mm)
1 detik	1,8039mm
2 detik	1,7668mm
3 detik	1,9223mm
4 detik	1,6332mm
5 detik	2,3989mm



Gambar 7. Sinyal motor misalignment 1,5mm

Gambar diatas dapat kita lihat bahwa gesekan getaran dari motor dan kopling semakin besar dari pada *misalignment* 1mm. Menyebabkan komponen dari motor dengan kopling menjadi semakin tidak lancar.

Tabel 7. Hasil uji ketahanan motor dan kopling level 1

No	Level 1	
1	FCM(%)	FSC(%)
2	0,88 %	0,83 %

Tabel 8. Hasil uji ketahanan motor dan kopling level 3

No	Level 2	
1	FCM(%)	FSC(%)
2	0,71	0,71

Tabel 9. Hasil uji ketahanan motor dan kopling level 3

No	Level 3	
1	FCM(%)	FSC(%)
2	0,75	0,71

4. KESIMPULAN DAN SARAN

Pada penelitian ini, menguji ketahanan pada motor dan kopling dengan menggunakan metode *fuzzy subspace cluster* (FSC) yang dibandingkan dengan metode *fuzzy C-mean* (FCM).

Hasil keterangan tabel 7,8,9 menggunakan akurasi *wafelet haar*. Yang didapat dari table level 1,2,3 bahwa FCM pada level satu menghasilkan 0,88% dan level tiga 0,75%. Sedangkan FSC pada level satu menghasilkan 0,83% dan level 3 menghasilkan 0,71%. Untuk nilai pada tabel level dua menghasilkan akurasi yang sama berarti mempunyai nilai persentase yang sama antara FCM dan FSC sehingga keduanya mempunyai ketidak sejajaran yang sama.

5. DAFTAR PUSTAKA

- [1] Harmouche, J., Delpha, C., & Diallo, D. (2015). Improved fault diagnosis of ball bearings based on the global spectrum of vibration signals. *IEEE Transactions on Energy Conversion*, 30(1), 376–383. <https://doi.org/10.1109/TEC.2014.2341620>
- [2] O. V. Thorsen and M. Dalva, "Failure identification and analysis forhigh voltage induction motors in the petrochemical industry," *IEEETransactions on Industry Applications*, vol. 35, no. 4, pp. 810–818, 1999.
- [3] S. Barker, "Avoiding premature bearing failure with inverter fed induction motors," *Power Engineering Journal*, vol. 14, no. 4, pp. 182–189,2000.
- [4] EPRI, "Improved motors for utility applications," Publication EL-2678-V1, final report, 1982.
- [5] D. A. Asfani, P. P. Surya Saputra, I. M. Yulistya Negara, I. G. N. Satriyadi Hernanda and R. Wahyudi, "Simulation analysis on high impedance temporary short circuit in induction motor winding," *2013 International Conference on QiR*, Yogyakarta, 2013, pp. 202-207. doi: 10.1109/QiR.2013.6632565
- [6] A. Starr B.K.N. Rao. Condition Monitoring and Diagnostic Engineering Management. Proceedengs of the 14th Intrnational Congress. Elsevier, 2001.
- [7] Anton Asfani, Dimas &Yulistya Negara, I Made & Surya, Pressa. (2015). Short Circuit Detection in Stator Winding Of Three Phase Induction Motor Using Wavelet Transform and Quadratic Discriminant Analysis. 361-366. 10.12792/icisip2015.068.
- [8] C. Jettanasen, A. Ngaopitakkul, D. A. Asfani and I. M. Y. Negara, "Fault classification in transformer using low frequency component," *2017 IEEE 10th International Workshop on Computational Intelligence and Applications (IWCIA)*, Hiroshima, 2017, pp. 199-202. doi: 10.1109/IWCIA.2017.8203584
- [9] Asfani, Dimas & ,Syafaruddin & HeryPurnomo, Mauridhi & Hiyama,
- Takashi. (2014). Neural network based real time detection of temporary short circuit fault on induction motor winding through wavelet transformation. *International journal of innovative computing, information & control: IJICIC*. 10. 1-14.
- [10] Johnson RA, Wichern DW. 1998. Applied multivariate statistical analysis, 4th ed. Saddle River, NJ: Prentice-Hall.
- [11] C. Bouveyron, S. Girard, and C. Schmid. "High Dimensional Discriminant Analysis. Communications in Statistics: Theory and Methods". 36(14):2607–2623, 2007.